

建筑力学

薄壁空间体系

[苏]A. Ф. 斯米尔诺夫 主编

顾景田 译

哈尔滨工业大学出版社

目 录

序言	(1)
第一章 超静定桁架、拱及拱顶的计算特点	(1)
§ 1.1 引言	(1)
§ 1.2 超静定桁架的计算	(4)
§ 1.3 超静定拱的计算	(15)
§ 1.4 处于弹性环境中拱顶结构的计算	(28)
第二章 悬挂式及混合式体系的计算特点	(35)
§ 2.1 受拉柔索作承重构件	(35)
§ 2.2 扁平空间索的平衡方程及变形方程	(40)
§ 2.3 平面索	(44)
§ 2.4 索的平面体系及空间体系	(52)
§ 2.5 关于非线性方程的求解	(63)
§ 2.6 具有刚性梁的柔索	(69)
第三章 建筑力学的一般方程及其应用电子计算机的 求解方法	(84)
§ 3.1 引言	(84)
§ 3.2 作为有限自由度体系的杆件体系	(85)
§ 3.3 杆的建筑力学基本方程	(91)
§ 3.4 建立杆件体系的基本方程	(103)
§ 3.5 静力几何相似性·建筑力学问题的提出 及其求解的一般体系	(117)
§ 3.6 建筑力学一般方程组的解·混合法	(120)
§ 3.7 位移法	(121)
§ 3.8 力法	(126)

§ 3.9	考虑局部荷载	(136)
§ 3.10	求解几何及物理非线性问题的方程	(140)
第四章	有限单元法的基本规则	(165)
§ 4.1	弹性理论方程及其与建筑力学方程的联系	(165)
§ 4.2	拉格朗日定理	(176)
§ 4.3	列依斯涅尔定理·作为列依斯涅尔定理 特例的拉格朗日及卡斯提良诺定理	(179)
§ 4.4	有限单元法及其与里兹(Ритц)法的联系	(192)
§ 4.5	有限单元法与建筑力学方法的联系	(197)
§ 4.6	有限单元法与位移法的联系	(203)
§ 4.7	按有限单元法解弹性理论的平面问题	(216)
§ 4.8	轴对称问题	(236)
§ 4.9	按有限单元法求解弹性理论的空间问题	(248)
§ 4.10	复杂单元	(257)
第五章	薄板受弯计算	(289)
§ 5.1	矩形单元	(289)
§ 5.2	弹性地基上平板的计算	(311)
§ 5.3	三角形单元反力矩阵的获得	(314)
§ 5.4	轻质填料三层板的计算	(319)
§ 5.5	在轴对称荷载作用下薄壁圆锥壳单元反 力矩阵的获得	(335)
§ 5.6	用直线正交网格有限单元法计算具有复 杂周边的扁壳及平板	(346)
第六章	有限单元法半解析法及其在薄壁空间体系计 算中的应用	(366)

§ 6.1	引言	(366)
§ 6.2	由双曲正交异性壳切出窄条的反力矩阵的获得	(368)
§ 6.3	从轻质填料三层平板中切出的窄条反力矩阵的获得	(390)
§ 6.4	用以求由窄条组成的薄壳反力矩阵的超单元	(402)
§ 6.5	非轴对称荷载作用下薄壁圆锥壳单元反力矩阵的获得	(404)
第七章	利用位移法及单三角级数形式的平板弹性理论解来计算棱柱形槽板体系	(421)
§ 7.1	引言	(421)
§ 7.2	铰支槽板壳位移法的典型方程	(422)
§ 7.3	矩形平板受弯时因板边位移而引起板边反力的确定·平板受弯的初参数法	(429)
§ 7.4	由于矩形平板平面中板边发生位移而在其板边上引起的反力的确定	(440)
§ 7.5	确定位移法方程组系数的技巧	(447)
§ 7.6	关于位移及反力的互等定理及其在确定由结点外荷载引起的反力中的应用	(457)
§ 7.7	例题	(460)
§ 7.8	关于混合法的应用	(471)
第八章	矩形平面壳体结构的计算	(475)
§ 8.1	概述	(475)
§ 8.2	直角坐标系中弹性扁壳的线性方程	(482)
§ 8.3	用重三角级数计算铰支壳	(489)
§ 8.4	铰支壳边缘构件的计算	(496)

§ 8.5	位移法及单级数法在双曲扁壳计算中的应用	(502)
§ 8.6	用方程的精确积分法建立壳体板块的刚度矩阵	(506)
§ 8.7	建立板块刚度矩阵的数值法	(517)
第九章	多维问题向一维问题的转化·关于用B. 3. 符拉索夫法计算圆柱体系的概念	(527)
§ 9.1	多维问题向一维问题的转化	(527)
§ 9.2	关于变分法微分方程的求解	(539)
§ 9.3	按B. 3. 符拉索夫法计算棱柱薄壁体系的原理	(544)
第十章	极限平衡法原理	(546)
§ 10.1	关于极限平衡荷载及破坏机构的概念	(546)
§ 10.2	关于极限平衡的定理	(548)
§ 10.3	关于使用线性规划法的概念	(554)
附录 1	面积坐标	(559)
附录 2	沿三角形域的积分	(562)
附录 3	变分学的某些资料	(565)
附录 4	沿矩形域的积分	(569)
附录 5	接位移法计算平板用的函数 $f_i(a)$ 及 $\psi_i(a)$ 表	(572)
参考文献		(581)

第一章 超静定桁架、拱及拱顶的计算特点

§ 1.1 引 言

在工程实践中常常使用超静定桁架、拱及拱顶来作承重结构。超静定桁架、拱及拱顶与静定的相比，其工作特点是它们中的内力与构件刚度有关，这些体系里会由于温度、支座沉降以及个别构件制造不精确而产生内力。

计算金属桁架时，一般认为结点是铰接的，因而这种理想桁架的全部杆件均在受拉或受压状态下工作。广泛采用的钢筋混凝土桁架（图1.1），具有短而抗弯刚度很大的杆件。计算这些桁架必须既考虑轴向力，又考虑弯矩。因此在钢筋混凝土桁架的计算简图中认为结点是刚接的，这些体系具有高次超静定的性质。

超静定拱体系与静定三铰拱相比，具有一系列结构优点，因而也广泛应用于建筑工程实践。按外部支承性质，拱区分为无铰拱及两铰拱（图1.2）。无铰拱广泛

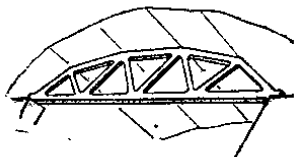


图 1.1

应用于桥梁结构（图1.3）。车道在下面的拱形桥面结构组成外静定体系。这种体系中横推力由拉杆来承受（图1.4）。它的优点在于不产生支座沉降内力。有拉杆的拱可能有三种型式：1) 具有柔拉杆的刚性拱（如果 $EJ_a \gg EJ_s$ ，这里 EJ_a ——拱的抗弯刚度； EJ_s ——拉杆的抗弯刚度）；2) 具有刚性梁的柔性拱（如果 $EJ_a \ll EJ_s$ ）；3) 具有刚性拉杆的刚性拱（如果 $EJ_a \approx EJ_s$ ）。

常常采用拱顶结构（图1.5）作为承重结构，拱顶结构是推力体系，其工作与拱类似，与拱不同的是，拱顶在垂直其平面方向的延续长度可达很大尺寸。为了近似地计算拱顶承受垂直于其横截面方向的固定荷载，可以从拱顶中取宽度等于1的拱带（图1.5）。拱顶和拱都近似地当作平面体系来计算，它们的区别在于对拱是研究平面应力状态（ $\sigma_z = 0$ ），而对拱顶则研究平面应变状态（ $\epsilon_z = 0$ ）。考虑上述情况，计算拱时取弹性模量为 E ，而对拱顶则取 $E' = E/(1 - \mu^2)$ 。用作建筑结构的拱及拱顶，一般用偏心受压直杆公式而不是曲杆公式进行计算，因为其中 $h/R < 1/5$ 。在拱及拱

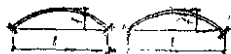


图 1.2



图 1.3

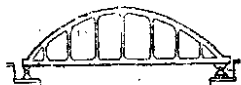


图 1.4

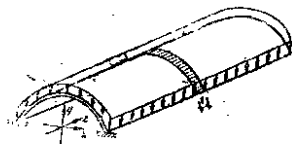


图 1.5

顶中产生很大的轴向力，由于这些力作用而产生的位移与弯曲产生的位移是同一数量级。因此在使用莫尔公式时应考虑两部分（由于 M 和 N 产生的变形）。

设计地下构筑物时广泛采用拱顶式结构体系，其上的主要荷载是上面土层的压力（图1.6）。属于这类结构的还有铁路隧道、各种专门用途的坑道、地下水电站的机器房、地下仓库、国防构筑物等等。有时地下结构作成圆环形（地下铁隧道，水工涵洞等）或圆环形体系，例如深埋的地下铁道车站就属此种结构（图1.7）。这些结构工作类似于拱顶。



图 1.6

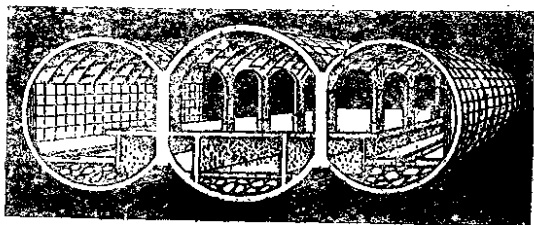


图 1.7

地下铁车站是复杂的空间结构，但为进行近似计算可以截取典型单元当作平面体系来计算（图1.8）。此时柱子象似“分布”在单元的长度上。计算地下结构时，仅仅在结构向岩层一方位移的情

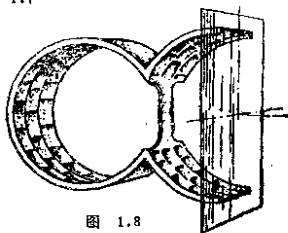


图 1.8

况下才应考虑周围土壤的作用；如果位移发生在相反方向，则可不考虑周围土壤的作用。这样一来，土壤是单方面的联系。常常取用文克列尔模型作为土壤模型。

计算桁架、拱及拱顶可以应用力法及位移法。由于使用电子计算机，后者得到了广泛应用。因此桁架、拱及拱顶广泛应用于工程构筑物中，关于它们的计算问题，我们将详细讨论。

§ 1.2 超静定桁架的计算

我们来讨论用力法计算超静定桁架。计算从确定超静定次数开始。以后各处都假设初始体系是不可变的。我们按公式 $n = s - 2k$ 来确定图 1.9 所示桁架的超静定次数，式中 k ——桁架结点数； s ——包括支杆在内的杆数；a) $n = 14 - 12 = 2$ ；b) $n = 39 - 38 = 1$ ；b) $n = 32 - 30 = 2$ ；r) $n = 40 - 36 = 4$ 。

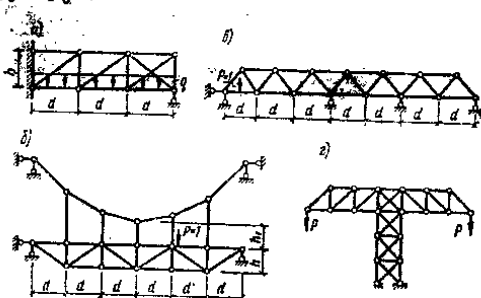


图 1.9

确定超静定次数之后，选择基本体系。然后组成典型方

程组（其数目等于超静定次数）由典型方程组确定多余未知数（所去掉联系中的内力）。因为在铰接桁架里只产生轴向力，所以确定单位位移和荷载位移时，莫尔公式中仅保留与轴向力 N 有关的一项。找出多余未知数之后，其余杆件中的内力按下列公式来求

$$N = N^0 + \bar{N}_1 X_1 + \bar{N}_2 X_2 + \dots + \bar{N}_c X_c \quad (1.1)$$

我们通过图1.9, a所示的二次超静定桁架的例题来研究计算步骤。图1.10, a给出基本体系。分布荷载用集中力 $P = qd = 4q$ 来代替。加于点1和点4的集中力未标出，因为这些力在桁架中不引起内力。基本体系的典型方程组有下列形式

$$\begin{cases} \delta_{11} X_1 + \delta_{12} X_2 + \Delta_{1P} = 0 \\ \delta_{21} X_1 + \delta_{22} X_2 + \Delta_{2P} = 0 \end{cases}$$

为求单位位移及荷载位移，我们确定桁架杆件中由 X_1 、 X_2 及荷载 P 产生的内力。求出 $\sin \alpha = 3/5 = 0.6$ ； $\cos \alpha = 4/5 = 0.8$ 。

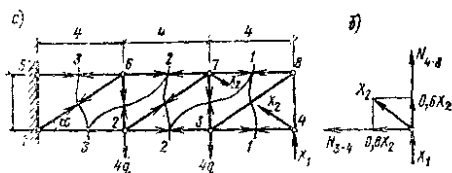


图 1.10

切截出结点4（图1.10, b），确定 N_{3-4} 及 N_{4-8} ：

$$\Sigma X = -0.8X_2 - N_{3-4} = 0; \quad N_{3-4} = -0.8X_2$$

$$\Sigma Y = X_1 + 0.6X_2 + N_{4-8} = 0; \quad N_{4-8} = -X_1 -$$

0.6X₂

作截面1—1得

$$\Sigma M_s = X_1 \cdot 4 + 0.6X_2 \cdot 4 + N_{7-8} \cdot 3 = 0$$

$$N_{7-8} = -1.333X_1 - 0.8X_2$$

$$\Sigma Y = X_1 + 0.6X_2 - N_{3-8} \cdot 0.6 = 0$$

$$N_{3-8} = 1.667X_1 + X_2$$

作截面1—2, 求出N₃₋₇

$$\Sigma Y = X_1 + 0.6X_2 - 4q + N_{3-7} = 0$$

$$N_{3-7} = -X_1 - 0.6X_2 + 4q$$

作截面, 2—2得

$$\Sigma M_7 = X_1 \cdot 4 - N_{2-3} \cdot 3 = 0; \quad N_{2-3} = 1.333X_1$$

$$\Sigma M_2 = X_1 \cdot 8 - 4q \cdot 4 + N_{6-7} \cdot 3 = 0$$

$$N_{6-7} = -2.667X_1 + 5.333q$$

$$\Sigma Y = X_1 - 4q - N_{2-7} \cdot 0.6 = 0$$

$$N_{2-7} = 1.667X_1 - 6.667q$$

作截面2—3, 求出N₂₋₆

$$\Sigma Y = X_1 - 8q + N_{2-6} = 0; \quad N_{2-6} = -X_1 + 8q$$

作截面3—3, 得

$$\Sigma M_1 = X_1 \cdot 12 - 4q \cdot 4 - 4q \cdot 8 + N_{5-6} \cdot 3 = 0$$

$$N_{5-6} = -4X_1 + 16q$$

$$\Sigma M_6 = X_1 \cdot 8 - 4q \cdot 4 - N_{1-2} \cdot 3 = 0$$

$$N_{1-2} = 2.667X_1 - 5.333q$$

$$\Sigma Y = X_1 - 4q - 4q - N_{1-6} \cdot 0.6 = 0$$

$$N_{1-6} = 1.667X_1 - 13.333q$$

假定上列公式中X₁ = 1, X₂ = 0, q = 0, 则得到全部杆中由X₁ = 1产生的内力。类似地可以求得由于X₂ = 1及荷载产生的内力。得到典型方程系数的过程, 可以很方便地

用列表形式进行(表1.1)。

找出典型方程的系数之后, 写出方程组

$$\begin{cases} 376.535X_1 + 56.741X_2 - 1383.284q = 0 \\ 56.741X_1 + 61.6X_2 - 36q = 0 \end{cases} \quad (1.2)$$

对 X_1 及 X_2 解方程组(1.2)得到

$$\begin{bmatrix} X_1 \\ X_2 \end{bmatrix} = \begin{bmatrix} 0.003084 & -0.002841 \\ -0.002841 & 0.018850 \end{bmatrix}$$
$$q \begin{bmatrix} 1383.284 \\ 36 \end{bmatrix} = \begin{bmatrix} 4.164 \\ -3.251 \end{bmatrix} q$$

有了多余未知数的值, 我们按公式(1.1) 求出桁架所有杆件中的内力(见表1.1的第7、13、14、15栏)。

下面我们来研究在桁架中建立影响线的问题。与计算桁架承受已知荷载相类似, 首先必须建立多余未知数的影响线。图1.9, 6所示的用悬链加强的桁架是一次超静定体系。基本体系示于图1.11, a。悬链的结点位于二次抛物线方程所描绘的曲线上。我们求出纵座标 y_2 及 y_3 。以 x, y 为轴线的二次抛物线方程为下式

$$y = ax^2 \quad (1.3)$$

设 $x = 12, y = 6$ 。将这些数值代入得(1.3), 得 $6 = a \cdot$

12^2 , 由此 $a = 1/24$, 二次抛物线方程将有 $y = \frac{1}{24}x^2$ 形式。

代入 $x_2 = 4$ 及 $x_3 = 8$, 得出铰接悬链结点的纵坐标:

$$y_2 = \frac{1}{24} \cdot 4^2 = 0.667; \quad y_3 = \frac{1}{24} \cdot 8^2 = 2.6667.$$

表1.1

序	井号	1		2		3		4		5		6		7		8		9		10		11		12		13		14		15			
		EF	FF	EF	FF	EF	FF	EF	FF	EF	FF	EF	FF	EF	FF	EF	FF	EF	FF	EF	FF	EF	FF	EF	FF	EF	FF	EF	FF	EF	FF		
1	2	3	4																														
1-2	4	1	4	2,887	0	-5,333g	28,452	0	0	-58,882g	0	11,105g	0	5,772g																			
2-3	4	1	4	1,333	0	0	7,107	0	0	0	0	5,651g	0	5,551g																			
3-4	4	1	4	0	-0,8	0	0	0	2,58	0	0	0	2,601g																				
5-6	4	1	4	-4	0	16g	6g	0	0	-256g	0	-18,655g	0	-0,856g																			
6-7	4	1	4	-2,887	0	5,333g	28,452	0	0	-58,882g	0	-11,105g	0	-5,772g																			
7-8	4	1	4	-1,333	-0,8	0	-7,108	4,266	2,56	0	0	-5,561g	2,601g	-2,95g																			
4-8	3	1	3	-1	-0,6	0	3	1,8	1,08	0	0	-4,164g	1,95g	-2,213g																			
2-6	3	0,2	15	-1	0	8g	15	0	0	-120g	0	-4,164g	0	3,836g																			
3-7	3	0,2	15	-1	-0,6	4g	15	9	5,4	-60g	-36g	-4,164g	1,951g	1,787g																			
1-6	5	0,2	25	1,667	0	-13,333g	89,472	0	0	-585,653g	0	6,941g	0	-6,392g																			
2-7	5	0,2	25	1,667	0	-6,667g	89,472	0	0	-277,847g	0	6,941g	0	0,274g																			
3-8	5	0,2	25	1,667	1	0	89,472	41,875	25	0	0	6,941g	0	3,68g																			
4-7	5	0,2	25	0	1	0	0	0	25	0	0	0	-3,251g	-3,251g																			
Σ							376,535	59,741	81,6	-1383,284g	-39g																						

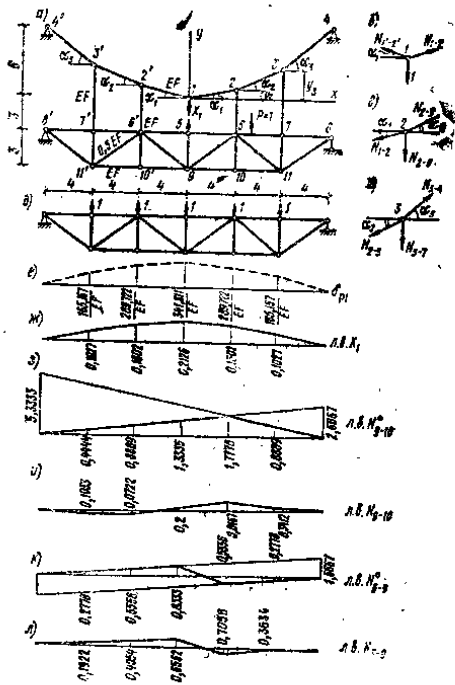


图 1.11

求杆长

$$l_{1-2} = \sqrt{4^2 + 0.6667^2} = 4.0552$$

$$l_{2-3} = \sqrt{4^2 + (2.6667 - 0.6667)^2} = 4.4721$$

$$l_{3-4} = \sqrt{4^2 + (0 + 2.6667)^2} = 5.2068$$

求角 $\alpha_1, \alpha_2, \alpha_3$ 的三角函数值:

$$\sin \alpha_1 = 0.6667/4.0552 = 0.1644$$

$$\cos \alpha_1 = 4/4.0552 = 0.9864$$

$$\sin \alpha_2 = 2/4.4721 = 0.4472$$

$$\cos \alpha_2 = 4/4.4721 = 0.8944$$

$$\sin \alpha_3 = 3.3333/5.2068 = 0.6402$$

$$\cos \alpha_3 = 4/5.2068 = 0.7682$$

图1.11, a所示基本体系的典型方程为 $\delta_{11}X_1 + \delta_{1P} = 0$ 。

使用机动法建立影响线

$$X_1 = -\delta_{1P}/\delta_{11} \quad (1.4)$$

式中 δ_{1P} ——桁架上弦由于 $X_1 = 1$ 产生的挠曲线。为求系数 δ_{11} , 算出悬链中由 $X_1 = 1$ 产生的内力。切截出结点(图1.11, 6), 得到 $\Sigma Y = 2N_{1-2}\sin\alpha_1 - 1 = 0$; $N_{1-2} = 3.0414$ 。

切截出结点2 (图1.11, 6), 将有

$$\Sigma X = -N_{1-2}\cos\alpha_1 + N_{2-3}\cos\alpha_2 = 0; N_{2-3} = 3.3542$$

$$\Sigma Y = -N_{2-6} + N_{2-3}\sin\alpha_2 - N_{1-2}\sin\alpha_1 = 0$$

$$N_{2-6} = 1.0$$

切截出结点3 (图1.11, 7), 得到

$$\Sigma X = -N_{3-4}\cos\alpha_3 + N_{2-3}\cos\alpha_2 = 0; N_{3-4} = 3.9052$$

$$\Sigma Y = -N_{3-7} + N_{3-4}\sin\alpha_3 - N_{2-3}\sin\alpha_2 = 0$$

$$N_{3-7} = 1.0$$

从桁架上切去悬链, 我们得到在力 $X_1 = 1$ 作用时, 桁架将由单位力加荷(图1.11, 8)。利用弹性重物法作出挠度 δ_{1P} 图(见图1.11, 9)。当 $qd = 1$ 时的类似挠度图已于[49, §45]中作出。

系数 δ_{11} 等于 $\delta_{11} = \delta'_{11} + \delta''_{11}$, 式中 δ'_{11} ——由于桁架构件变形沿 X_1 方向产生的位移; δ''_{11} ——由于悬链构件及吊杆

变形沿 x_1 方向产生的位移，为求 δ_{11}^0 ，必须将图1.11, n所示的荷载所引起的轴向力图自乘。自乘的结果等于实际位移上内力的功。但是内力功等于外力功。计算外力功将有

$$\delta_{11}^0 = \left(1 \cdot \frac{165.167}{EF} + 1 \cdot \frac{289.722}{EF} \right) \cdot 2 \\ + 1 \cdot \frac{341.611}{EF} = \frac{1251.389}{EF}$$

为求 δ_{11}^0 必须完成悬链构件及吊杆图的自乘，

$$\delta_{11}^0 = \frac{1}{EF} [1^2 \cdot 3 + 2(3.0414^2 \cdot 4.0552 + 1^2 \cdot 3.6667 \\ + 3.3542^2 \cdot 4.4721 + 1^2 \cdot 5.6667 + 3.9052^2 \\ \cdot 5.2068)] = \frac{1}{EF} 356.131$$

于是

$$\delta_{11} = \frac{1}{EF} 1607.52$$

根据(1.4)将挠度图的所有纵坐标 δ_{P1} 除以 δ_{11} ，我们得出 X_1 的影响线(图1.11, ж)。有了多余未知数的影响线，便可按公式(1.1)在桁架的任意杆中作出内力的影响线。

我们来作内力 N_{9-10} (图1.11, и)及 N_{6-9} (图1.11, л)的影响线。基本体系中内力 N_{9-10}^0 及 N_{6-9}^0 的影响线分别示于图1.11, з及1.11, к上。这些影响线按建立静定桁架影响线的规则来建立(当基本体系中移动力 $P=1$ 作用时悬链不工作)。为了得到影响线的纵坐标，我们编制了表1.2。

表1.2

点号	N_{9-10}^0	$\bar{N}_{9-10} X_1$	N_{9-10}	N_{6-9}^0	$\bar{N}_{6-9} X_1$	N_{6-9}
7'	0.4444	-0.5477	-0.1033	0.2778	-0.0856	0.1922
6'	0.8889	-0.9611	-0.0722	0.5556	-0.1502	0.4054
5	1.3333	-1.1333	0.2	0.8333	-0.1771	0.6562
6	1.7778	-0.9611	0.8167	-0.5556	-0.1502	-0.7058
7	0.8889	-0.5477	0.3412	-0.2778	-0.0856	-0.3634

图1.9, b所示的超静定桁架是二次超静定的。其基本体系示于图, 1.12, a, 我们写出典型方程组

$$\begin{cases} \delta_{11} X_1 + \delta_{12} X_2 + \delta_{1P} = 0 \\ \delta_{21} X_1 + \delta_{22} X_2 + \delta_{2P} = 0 \end{cases}$$

解方程组得

$$\vec{X} = -A^{-1} \vec{\delta}_P \quad (1.5)$$

$$\vec{X} = \begin{bmatrix} X_1 \\ X_2 \end{bmatrix}; A = \begin{bmatrix} \delta_{11} & \delta_{12} \\ \delta_{21} & \delta_{22} \end{bmatrix}; \vec{\delta}_P = \begin{bmatrix} \delta_{1P} \\ \delta_{2P} \end{bmatrix} = \begin{bmatrix} \delta_{P1} \\ \delta_{P2} \end{bmatrix}$$

式中 δ_{P1} ——桁架下弦由 $X_1 = 1$ 产生的挠曲线; δ_{P2} ——桁架下弦由于 $X_2 = 1$ 产生的挠曲线。

使用弹性荷载法作挠度图 δ_{P1} 及 δ_{P2} (见图1.12, 6及B)。在[49, §51]中已经建立了图1.12, a所示桁架的柔度矩阵 A 。挠度图 δ_{P1} 及 δ_{P2} 相当于矩阵 A 的第3及第5列。

挠度图上标出了单位力系数 $\delta_{11}, \delta_{12}, \delta_{13}$ 的值。将 $\delta_{11}, \delta_{12}, \delta_{22}, \delta_{P1}, \delta_{P2}$ 代入方程式(1.5), 我们得到 X_1 及 X_2 的纵坐标 (图1.12, r, n)

$$\begin{bmatrix} X_1 \\ X_2 \end{bmatrix} = - \begin{bmatrix} 213.8328 & 153.1959 \\ 153.1959 & 152.4831 \end{bmatrix}^{-1} \begin{bmatrix} \delta_{P1} \\ \delta_{P2} \end{bmatrix} \rightarrow$$